

## บทที่ 2

### เอกสารและงานวิจัยที่เกี่ยวข้อง

#### 2.1 รูปแบบโครงสร้างของคาร์บอน

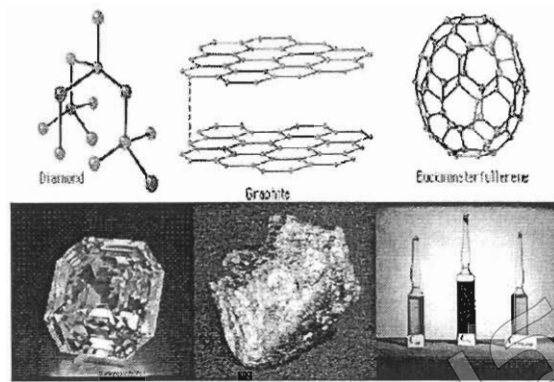
คาร์บอนเป็นธาตุชนิดหนึ่งที่เป็นองค์ประกอบหลักของสิ่งมีชีวิต มีรูปแบบการจัดเรียงตัวกันได้หลายรูปแบบ สามารถแบ่งออกได้เป็น 4 รูปแบบ ได้แก่

2.1.1 เพชร เป็นวัสดุที่มีโครงสร้างแบบ 3 มิติ โดยท่อต่อกันของคาร์บอนแต่ละอะตอมจะสร้างพันธะกับคาร์บอน 4 ตัว คือพันธะ โคوالเอนซ์ (Covalent bond) ซึ่งเป็นพันธะที่มีความแข็งแรงสูงมาก จากโครงสร้างดังกล่าวทำให้เพชรเป็นวัสดุที่แข็งที่สุด ประโยชน์ของเพชรถูกนำมาใช้ประโยชน์ในด้านต่าง ๆ เช่น อุตสาหกรรมเครื่องประดับ อุตสาหกรรมอิเล็กทรอนิกส์ เป็นต้น

2.1.2 แกรไฟต์ เป็นวัสดุที่มีโครงสร้างแบบ 2 มิติ มีลักษณะเป็นแผ่นประกอบด้วยอะตอมของคาร์บอน ที่เรียงตัวกันในรูปแบบหกเหลี่ยมวางชั้นทับกันเป็นชั้น ๆ ซึ่งในแต่ละชั้นจะถูกยึดเข้าด้วยกันด้วยแรงวนเดอร์วัลล์ (Van Der Waals force) ซึ่งเป็นแรงแบบอ่อน ๆ ทำให้พันธะระหว่างชั้นมีความแข็งแรงต่ำ ในขณะที่พันธะในแนวราบจะมีความแข็งแรงสูง ตัวอย่างของโครงสร้างแบบแกรไฟต์ที่พบได้ในปัจจุบัน ได้แก่ ไส้ดินสอ เป็นต้น

2.1.3 ฟูลาเซอริน มีลักษณะโครงสร้างแบบทรงกลมที่มีขนาดเล็กมาก ๆ สามารถพิจารณาเป็นโครงสร้างแบบจุลหรือศูนย์มิติได้ มีลักษณะเหมือนลูกบุบ碌 ฟูลาเซอรินที่พบส่วนใหญ่เป็นคาร์บอนหกสิบ ( $C_{60}$ ) โดยแต่ละโมเลกุลจะประกอบไปด้วยอะตอมคาร์บอนจำนวน 60 อะตอม ที่เชื่อมต่อกันด้วยพันธะ โคوالเอนซ์

2.1.4 ท่อนาโนคาร์บอน เป็นโครงสร้างของคาร์บอนอิฐแบบหนึ่งที่มีลักษณะการเกิดคล้ายการม้วนตัวของแผ่นกระดาษ มีขนาดเส้นผ่าศูนย์กลางของห่อในระดับนาโนเมตร และเมื่อเปรียบเทียบกับความยาวของห่อจะมีค่าความแตกต่างค่อนข้างมาก ทำให้คุณสมบัติของโครงสร้างแบบ 1 มิติ

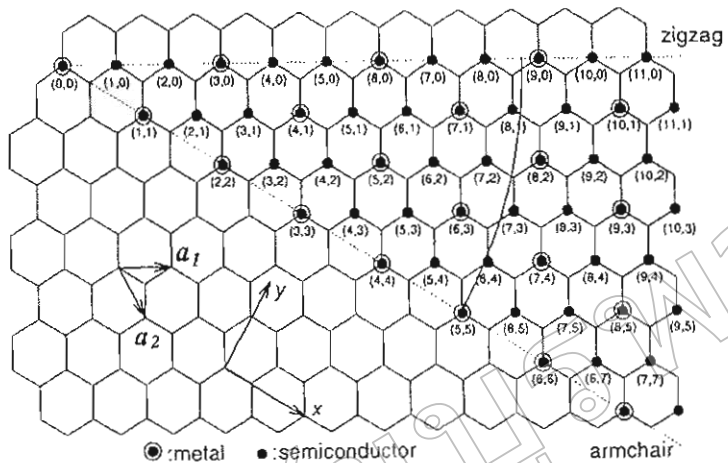


ภาพที่ 1 โครงสร้างของคาร์บอนในรูปแบบต่าง ๆ (Hornbaker, 2003)

## 2.2 ท่อนาโนคาร์บอน

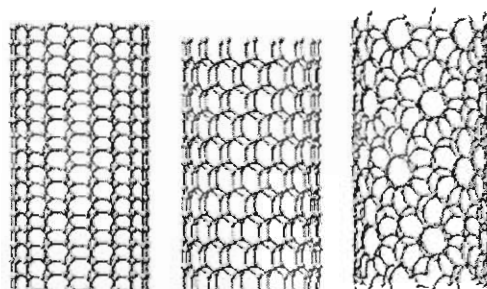
เกิดจากการคั่นพ่นโดยบังเอิญของศาสตราจารย์อิจิมาในปี 1991 ขณะทำการสังเคราะห์ฟลักเตอร์นิวเคลียร์ด้วยการระเหยด้วยไฟฟ้า (Arc-evaporation) เขาพบว่าที่ขั้วแคโทดเกิดวัสดุที่มีโครงสร้างถักทึบเป็นท่อ และมีขนาดเส้นผ่าศูนย์กลางกับหน่วยเมตร ซึ่งต่อมากายหลังเรียกว่าท่อนาโนคาร์บอน ท่อนาโนคาร์บอนเกิดขึ้นจากการม้วนตัวเข้าหากันเป็นท่อของแผ่นกราฟีน อะตอมของคาร์บอนจะเชื่อมต่อพื้นที่แบบ  $sp^2$  และโครงสร้างของท่อนาโนคาร์บอนสามารถแบ่งได้เป็น 2 ชนิด คือ

2.2.1 ท่อนาโนคาร์บอนแบบผนังชั้นเดียว (Single-walled carbon nanotubes, SWNTs) เป็นท่อนาโนคาร์บอนที่ประกอบด้วยชั้นของคาร์บอนเพียง 1 ชั้น สามารถแบ่งออกเป็น 3 ชนิด ได้แก่ Armchair ( $n,n$ ), Zigzag ( $n,0$ ) และ Chiral ( $n,m$ ) โดยที่ค่าดัชนี ( $n,m$ ) จะเป็นตัวบ่งบอกรูปแบบของการขัดตัวว่าจะเป็นท่อนาโนคาร์บอนแบบผนังชั้นเดียวในรูปแบบใด ซึ่งสามารถอธิบายได้ด้วยเวกเตอร์  $\vec{C}$  โดยที่  $\vec{C} = n\vec{a}_1 + m\vec{a}_2$



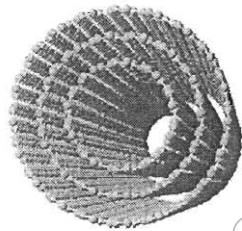
ภาพที่ 2 ภาพของเวกเตอร์  $\vec{C}$  เมื่อ  $\vec{a}_1$  และเป็น  $\vec{a}_2$  เวกเตอร์แลตทิสของแกรฟไฟฟ์ (Terrones, Ren, & Chou, 2003, pp. 1899-1912)

การผึ้ง่อนในการนับอนแบบผังชั้นเดียวในรูปแบบของ Armchair ค่าดัชนี  $m$  จะมีค่าเท่ากับ  $n$  หรือ  $(n=m)$  โดยขนาดของมุ่มมีค่าเท่ากับ 30 องศา ในส่วนของรูปแบบ Zigzag ค่าดัชนี  $m$  จะมีค่าเท่ากับ 0 หรือ  $(n,0)$  โดยขนาดของมุ่มมีค่าเท่ากับ 0 องศา และรูปแบบของ Chiral จะจัดเรียงตัวในรูปแบบ  $(n,m)$  โดยขนาดของมุ่มมีค่าเท่ากับ  $\theta = \tan^{-1} \left[ \frac{\sqrt{3}m}{(m+2n)} \right]$  และขนาดเดินผ่านผ่าศูนย์กลางของท่อนาโนคาร์บอนสามารถคำนวณได้จากความสัมพันธ์ของ  $d = \frac{a\sqrt{n^2 + nm + m^2}}{\pi}$  โดยที่  $a = |\vec{a}_1| = |\vec{a}_2|$  คือค่าคงที่แลตทิสของแกรฟไฟฟ์ ซึ่งมีค่าเท่ากับ 0.246 นาโนเมตร



ภาพที่ 3 แสดงลักษณะของท่อนาโนคาร์บอนแบบผังชั้นเดียวโครงสร้างต่างๆ อาทิ แมชร์  $(n,n)$ , ซิกแซก  $(n,0)$ , ไครล  $(n,m)$  (Popov, 2004, pp. 61-102)

2.2.2 ท่อนาโนคาร์บอนแบบผนังหลาชั้น เป็นท่อนาโนคาร์บอนที่ประกอบด้วย ท่อนาโนคาร์บอนมากกว่า 1 ชั้นขึ้นไป



ภาพที่ 4 แสดงลักษณะของท่อนาโนคาร์บอนแบบผนังหลาชั้น (Merkoci, 2005, pp. 157-174)

### 2.3 สมบัติของท่อนาโนคาร์บอน

#### 2.3.1 สมบัติทางไฟฟ้า

ท่อนาโนคาร์บอนมีสมบัติเป็นได้ทั้งโลหะหรือสารกึ่งตัวนำ โดยสมบัติเหล่านี้จะขึ้นอยู่กับขนาดเส้นผ่าศูนย์กลางของท่อนาโนคาร์บอน (Aksu et al., 2002) สมบัติการนำไฟฟ้าของท่อนาโนคาร์บอนจะขึ้นอยู่กับการม้วนตัวเข้าเป็นท่อของแผ่นกราฟิน โดยพิจารณาจากค่าดัชนี ( $n,m$ ) หากค่า  $(n-m)/3$  มีค่าลงตัวพอดี ท่อนาโนคาร์บอนที่ได้จะแสดงสมบัติเป็นโลหะ แต่ถ้ามีค่าไม่ลงตัว ท่อนาโนคาร์บอนที่ได้จะแสดงสมบัติเป็นสารกึ่งตัวนำ (ซึ่งจะมีช่องว่างແฉบัด้งงานที่แคนบมาก ๆ) ดังนั้นจำนวน 1 ใน 3 ของโครงสร้างที่เป็นไปได้ทั้งหมดจะนำไฟฟ้าแบบโลหะ และที่เหลือ 2 ใน 3 ของโครงสร้างทั้งหมดจะนำไฟฟ้าแบบสารกึ่งตัวนำ อย่างไรก็ตามวิธีการดังกล่าวมีข้อจำกัดในบางกรณีเนื่องจากความไม่ถูกของท่อนาโนคาร์บอนที่มีขนาดเส้นผ่าศูนย์กลางที่เล็ก จะทำให้ผลต่อสมบัติทางไฟฟ้าของท่อนาโนคาร์บอนมีการเปลี่ยนแปลง ตัวอย่างเช่น ท่อนาโนคาร์บอนแบบผนังชั้นเดียวที่มีค่าดัชนี (5,0) หากพิจารณาด้วยวิธีข้างต้นจะพบว่ามีสมบัติเป็นสารกึ่งตัวนำ แต่ผลจากการคำนวณอย่างละเอียดจะพบว่าท่อนาโนคาร์บอนดังกล่าวจะมีสมบัติเป็นโลหะ (Lu & Chen, 2005, pp. 3643-3696) นอกจากนี้ยังได้มีการศึกษาประสิทธิภาพการนำไฟฟ้าของท่อนาโนคาร์บอนที่มีสมบัติเป็นโลหะเปรียบเทียบกับทองแดง ผลที่ได้แสดงให้เห็นว่าท่อนาโนคาร์บอนแบบโลหะมีความสามารถในการนำไฟฟ้าที่ค่อนข้างมาก โดยมีค่าความหนาแน่นของกระแสไฟฟ้าเท่ากับ  $4 \times 10^9$  แอมป์ร์ต่อตารางเซนติเมตร ซึ่งหากเปรียบเทียบกับทองแดงพบว่ามีค่ามากกว่าถึง 1000 เท่า (Hong & Myung, 2007, pp. 207-208)

### 2.3.2 สมบัติเชิงกล

ท่อนาโนคาร์บอนถือเป็นวัสดุอีกชนิดหนึ่งที่มีโครงสร้างที่มีความแข็งแรงสูง เนื่องจากคาร์บอนแต่ละอะตอมมีการเชื่อมต่อกันด้วยพันธะแบบ sp<sup>2</sup> (Robertson, Brenner, & Mintmire, 1992, pp. 12592-12595) ทึ้งยังมีน้ำหนักเบา และมีความยืดหยุ่นสูงอีกด้วย ผลการศึกษา สมบัติเชิงกลของท่อนาโนคาร์บอนในเชิงทฤษฎีและเชิงการทดลอง (Treacy, Ebbesen, & Gilson, 1996, pp. 678-680 ; Wong, Sheehan, & Lieber, 1997, pp. 1971-1975) พบว่าท่อนาโนคาร์บอนมีค่า บัมมอดูลัสที่สูงถึง 1.4 เทราปานา托ล (Yu, 2000, pp. 5552-5555) มีค่าการยึดตัวสูงสุดประมาณ 20-30% และมีค่าความเค้นแรงดึง (Tensile Strength) ที่สูงกว่า 100 จิกะปานา托ล เมื่อเปรียบเทียบกับ เหล็กจะพบว่าเหล็กมีค่าบัมมอดูลัสอยู่ที่ประมาณ 200 จิกะปานา托ล และมีค่าความเค้นแรงดึง ประมาณ 1-2 จิกะปานา托ล เท่านั้น ซึ่งจะเห็นได้ว่าท่อนาโนคาร์บอนมีความแข็งแกร่งและมีความ เค้นแรงดึงที่สูงกว่าเหล็กมาก

### 2.3.3 สมบัติเชิงความร้อน

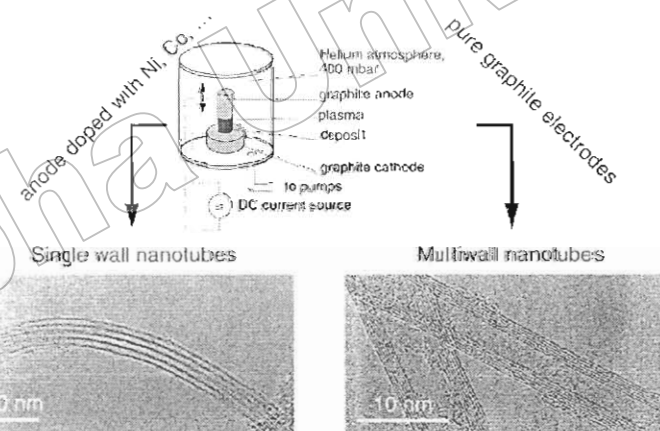
ก่อนการคุ้นเคยท่อนาโนคาร์บอน เพชรถือเป็นวัสดุที่มีความสามารถในการนำความร้อนได้ดีที่สุด แต่ในปัจจุบันท่อนาโนคาร์บอนได้แสดงให้เห็นว่ามีความสามารถในการนำความร้อนได้ดีกว่าเพชรอย่างน้อย 2 เท่า (Hone, 2001, pp. 273-286) การศึกษาการค่าความร้อนจำเพาะ และการนำความร้อนของท่อนาโนคาร์บอนนั้นสามารถลดอัตราการนำความร้อนลงได้ด้วยโฟนอ่อน ผลการศึกษาที่ผ่านมาได้ทำการวัดค่าความร้อนจำเพาะและค่าการนำความร้อนจำเพาะของท่อนาโนคาร์บอน พบร่วมกับการวัดที่อุณหภูมิสูงกว่า 1 เคลวิน และต่ำกว่าอุณหภูมิห้อง ค่าความร้อนจำเพาะและค่าการนำความร้อนจำเพาะ จะมีความสัมพันธ์กับอุณหภูมิในรูปแบบของเชิงเส้น (Yi, Lu, Zhang, Pan, & Xie, 1999, pp. 9015-9018) ขณะที่การวัดที่อุณหภูมิต่ำกว่า 1 เคลวิน จะพบว่าค่าความร้อนจำเพาะจะมี ความสัมพันธ์กับอุณหภูมิในรูปแบบของ  $T^{0.62}$  (Lasjaunias, 2003, pp. 1047-1054) นอกจากนี้ยังมี ภารศึกษาเปรียบเทียบประสิทธิภาพการนำความร้อนระหว่างท่อนาโนคาร์บอนแบบผนังขั้นดีyah กับ ทองแดง ซึ่งทองแดงถือเป็นโลหะอีกชนิดหนึ่งที่มีความสามารถในการนำความร้อนได้ดี พบร่วมกับ การนำความร้อนตามแนวแกนของท่อนาโนคาร์บอนมีค่าเท่ากับ 3500 วัตต์ต่ำเมตรเคลวิน (Pop et al., 2005, pp. 96-100) ขณะที่ทองแดงมีค่าการนำความร้อนเท่ากับ 385 วัตต์ต่ำเมตรเคลวิน แต่ถ้าหาก วัดการนำความร้อนของท่อนาโนคาร์บอนในแนววางจะพบว่ามีค่า 1.52 วัตต์ต่ำเมตรเคลวิน เท่านั้น (Sinha, Baijami, Iannacchione, Schwab, & Muench, 2005, pp. 651-657)

## 2.4 เทคนิคการสังเคราะห์ท่อนาโนคาร์บอน

การสังเคราะห์ท่อนาโนคาร์บอนนี้สามารถทำได้หลายวิธี ซึ่งแต่ละวิธีก็มีข้อดีและข้อด้อยที่แตกต่างกัน โดยสามารถแบ่งวิธีการสังเคราะห์หลัก ๆ ได้ 3 วิธี ได้แก่

### 2.3.1 วิธีอาร์คดิสชาร์จ (Arc discharge)

การสังเคราะห์ท่อนาโนคาร์บอนด้วยวิธีอาร์คดิสชาร์จ (Journet et al., 1997, pp. 756-758) สามารถทำได้โดยนำแท่งแกรไฟต์สองแท่งมาทำหน้าที่เป็นขั้วไฟฟ้า โดยที่จะหันหน้าระหว่างแท่งแกรไฟต์ทั้งสองมีค่าน้อยกว่า 1 มิลลิเมตร ภายใต้บรรยากาศแก๊ส惰性 เช่น อิเลี่ยมหรืออาร์กอน จากนั้นให้ไฟฟ้ากระแสตรงที่ช่วงสูง และให้ศักย์ไฟฟ้าที่ช่วงต่ำเพื่อทำให้เกิดความร้อนสูงที่ขั้วไฟฟ้าทั้งสองเป็นผลทำให้เกิดสถานะพลาสม่า ( $>3000$  องศาเซลเซียส) ส่งผลทำให้เกิดท่อนาโนคาร์บอนบริเวณตรงขั้วแท่งแกรไฟต์ที่ต่อ กับขั้วลบ การควบคุมขนาด ความยาวหรือจำนวนชั้นของท่อนาโนคาร์บอน สามารถทำโดยการควบคุมความดัน อุณหภูมิ และความสูงตามที่ต้องการ ของสถานะพลาสมานอกจากนี้การเติมผงโลหะตะลิสต์ปริมาณเล็กน้อยในแท่งแกรไฟต์จะช่วยให้เกิดท่อนาโนคาร์บอนแบบนั้นเดียวได้อีกด้วย วิธีอาร์คดิสชาร์จเป็นวิธีที่ง่ายและถูกใช้จ้างน้อย แต่ท่อนาโนคาร์บอนที่ได้จะมีขนาดไม่สม่ำเสมอ และมีลักษณะเป็นก้อนข้างมาก

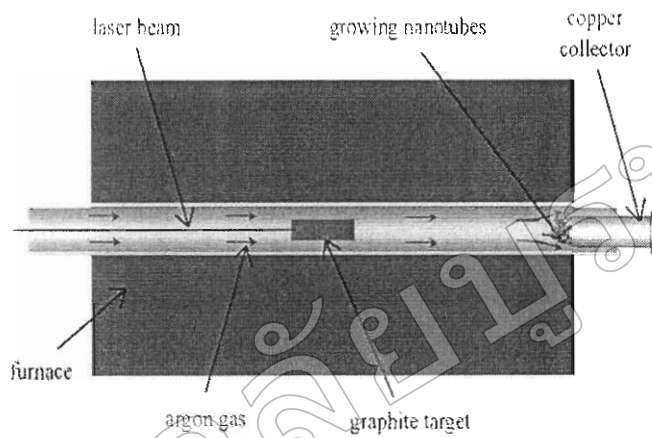


ภาพที่ 5 แสดงระบบวิธีอาร์คดิสชาร์จ (Daenen et al., 2003)

### 2.3.2 วิธีระเหยด้วยแสงเลเซอร์ (Laser vaporization)

การสังเคราะห์ท่อนาโนคาร์บอนด้วยวิธีระเหยด้วยแสงเลเซอร์ (Thess et al., 1996, pp. 483-487) สังเคราะห์โดยใช้แสงเลเซอร์ยิงไปยังที่เป้าของคาร์บอน จนทำให้กล้ายเป็นไออกซ์เจน โดยที่ไออกซ์เจนของคาร์บอนจะถูกทำให้เย็นด้วยน้ำที่ถูกนำไปเย็นด้วยน้ำ ภายใต้บรรยากาศของแก๊ส惰性 เช่น อิเลี่ยม ส่งผลทำให้เกิดท่อนาโนคาร์บอน วิธีระเหยด้วยแสงเลเซอร์สามารถสังเคราะห์ท่อนาโนคาร์บอนที่

มีความเป็นระเบียบสูงเมื่อเทียบกับวิธีอื่น ๆ แต่มีข้อเสียตรงที่ต้องใช้ค่าใช้จ่ายในการสังเคราะห์ที่สูงกว่าวิธีอื่น ๆ



ภาพที่ 6 แสดงระบบวิธีรัฐเชิงแสงเลเซอร์ (Thostenson, Ren, & Chou, 2001, pp.1899-1912)

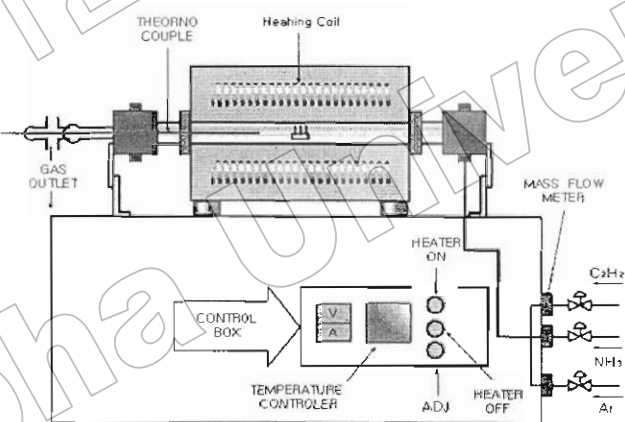
### 2.3.3 วิธีการเคลือบไฮโรเหยหางเคมี

วิธีการเคลือบไฮโรเหยหางเคมี (Ren et al., 1998, pp. 1105-1107) เป็นวิธีการสังเคราะห์ที่ท่อนาโนคาร์บอนโดยการใช้แก๊สไฮโอดรคาร์บอนเป็นแหล่งกำเนิดการรับอน แก๊สไฮโอดรคาร์บอนที่ใช้โดยทั่วไป ได้แก่ มีเทน อะเซทิลีน คาร์บอนไดออกไซด์ ฯลฯ ขั้นตอนการสังเคราะห์ท่อนาโนคาร์บันด้วยวิธีนี้จะประกอบด้วย 2 ขั้นตอนหลัก ๆ คือ การเตรียมกะตะลิสต์ เพื่อใช้เป็นตัวรับปฏิกิริยาและการสังเคราะห์ท่อนาโนคาร์บัน วิธีการเตรียมกะตะลิสต์โดยทั่วไปจะเตรียมด้วยวิธีเคลือบกะตะลิสต์ด้วยวิธีต่าง ๆ ลงบนแผ่นรองรับ จากนั้นจะให้ความร้อนหรือการใช้แก๊สแอมโมเนียสำหรับการกัด เช่น เพื่อทำให้กะตะลิสต์ถูกลายเป็นอนุภาคกะตะลิสต์ที่มีขนาดอยู่ในระดับนาโนเมตร จากนั้นแก๊สไฮโอดรคาร์บอนจะถูกปล่อยเข้าภายในระบบเพื่อสังเคราะห์ท่อนาโนคาร์บัน สำหรับอุณหภูมิที่ใช้สังเคราะห์ท่อนาโนคาร์บันโดยทั่วไปอยู่ในช่วงอุณหภูมิ 650-900 องศาเซลเซียส (Yudasaka et al., 1995, pp. 2477-2479 ; Yudasaka, Kikuchi, Ohki, Ota, & Yoshimura, 1997, pp. 1817-1818)

วิธีดังกล่าวข้างต้นเป็นหลักการทั่วไปที่ใช้ในการสังเคราะห์ท่อนาโนคาร์บัน ปัจจุบันได้มีการพัฒนาวิธีการและเทคนิคต่าง ๆ สำหรับการสังเคราะห์ท่อนาโนคาร์บัน ซึ่งสามารถแบ่งออกเป็นวิธีย่อย ๆ ได้หลายวิธี เช่น การเคลือบไฮโรเหยหางเคมีด้วยความร้อน (Thermal chemical vapor deposition; TCVD) และการเคลือบไฮโรเหยหางเคมีแบบกะตะไกตก (Catalytic chemical vapor deposition; CCVD) เป็นต้น

### 2.3.3.1 การเคลือบไอระเหยทางเคมีด้วยความร้อน

วิธีการสังเคราะห์รูปแบบนี้จะใช้โลหะตะลิสต์เป็นตัวร่างปฏิกิริยา ซึ่งโลหะตะลิสต์นิยมที่ใช้เป็นกัมมุพวකโลหะทราบชิ้น ได้แก่ นิกเกิล โภบลต์ และเหล็ก หรือโลหะผสมของโลหะดังกล่าวเคลือบลงบนแผ่นรองรับ ตัวบ่างที่เตรียมได้จะถูกนำไปวางที่บริเวณกึ่งกลางของระบบ จากนั้นโลหะตะลิสต์จะถูกเปลี่ยนให้อยู่ในรูปของอนุภาคตะลิสต์ในระดับนาโนเมตร โดยใช้การกัดเซาะของแก๊สแอมโมเนียและอุณหภูมิ จากนั้นทำการปล่อยแก๊สไฮโดรคาร์บอน เมื่อแก๊สไฮโดรคาร์บอนเคลื่อนที่เข้ามาถึงบริเวณพื้นที่ที่ร้อนแก๊สจะเกิดการแตกตัวและตกเพริ่บบนโลหะตะลิสต์ เป็นผลทำให้เกิดห่อนาโนคาร์บอน วิธีการสังเคราะห์ท่อนาโนคาร์บอนด้วยวิธีนี้สามารถควบคุมขนาด ความขยะ ทิศทางการเกิด ตำแหน่งที่เกิดของห่อนาโนคาร์บอน และยังสามารถสังเคราะห์ห่อนาโนคาร์บอนได้ทั้งแบบผนังชั้นเดียวและผนังหลายชั้น ได้ แต่เมื่อเติบโตห่อนาโนคาร์บอนที่ได้มีความไว้เปลี่ยนของโครงสร้างที่สูง

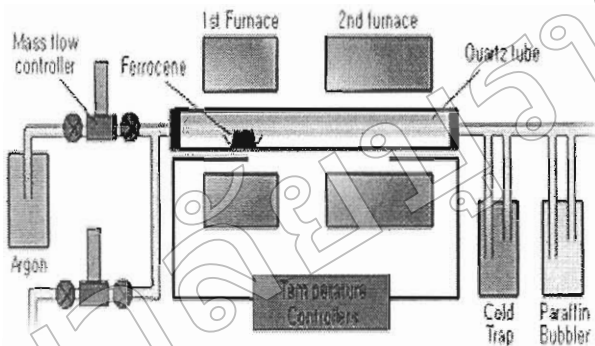


ภาพที่ 7 แสดงระบบการเคลือบไอระเหยทางเคมีด้วยความร้อน (Daenen et al., 2003)

### 2.3.3.2 การเคลือบไอระเหยทางเคมีแบบตะไสติก

เป็นวิธีการสังเคราะห์ท่อนาโนคาร์บอนโดยไม่ต้องใช้แผ่นรองรับสำหรับการเกิดของห่อนาโนคาร์บอน ภาพที่ 8 แสดงระบบการสังเคราะห์ห่อนาโนคาร์บอนด้วยวิธีการเคลือบไอระเหยทางเคมีแบบตะไสติก เช่น ใช้เฟอร์โรเซน (Ferrocene) เป็นตะลิสต์โดยนำไปวางอยู่ที่บริเวณกึ่งกลางเตาอบแรก จากนั้นให้อุณหภูมิในระดับที่ทำให้เฟอร์โรเซนแตกตัวกลายเป็นสถานะไออกและเกิดเป็นอนุภาคตะลิสต์ของเหล็กและปล่อยแก๊สไฮโดรคาร์บอนเข้าสู่ระบบ แก๊สจะเคลือบห่อนาโนคาร์บอนที่สองซึ่งเป็นบริเวณที่มีอุณหภูมิสูงกว่าเตาอบแรก มีอุณหภูมิอยู่ในระดับ

ที่ทำให้เก๊สไฮโคลคาร์บอนแตกตัวได้ที่บริเวณนี้ เมื่อเก๊สไฮโคลคาร์บอนเข้ามายังเกิดการแตกตัว และตกแพร่ลงบนอนุภาคโลหะตะลิสต์ ทำให้เกิดท่อนาโนคาร์บอนบนโลหะตะลิสต์ วิธีการนี้สามารถสังเคราะห์ท่อนาโนคาร์บอนได้ครั้งละจำนวนมาก แต่มีข้อเสียตรงนี้การควบคุมขนาดและทิศทางของท่อนาโนคาร์บอนจะทำได้ยาก



ภาพที่ 8 แสดงระบบการผลิตอนิโอะโรแทบทางเคมีแบบตะไกิดิก (Daenen et al., 2003)

## 2.5 ทฤษฎีการเกิดของท่อนาโนคาร์บอน

มีหลายแนวคิดที่ใช้ในการอธิบายกลไกการเกิดท่อนาโนคาร์บอน แต่ก็ยังไม่สามารถหาข้อสรุปได้อย่างชัดเจน แต่มีแนวคิดหนึ่งที่เป็นที่ยอมรับกันอย่างแพร่หลายในปัจจุบัน คือ แนวคิดแบบ Vapor-Liquid-Solid (VLS) เมื่อพิจารณาการให้พลังงานในรูปของพลังงานความร้อนซึ่งมีหลักการดังนี้ เก๊สไฮโคลคาร์บอนจะถูกปล่อยเข้าไปในระบบและผ่านบริเวณที่มีความร้อน แก๊สไฮโคลคาร์บอนจะตกแพร่ลงบนตะลิสต์และสะสมกันจนเกิดเป็นท่อนาโนคาร์บอน ซึ่งการเกิดท่อนาโนคาร์บอนสามารถพิจารณาได้เป็น 2 กรณี คือ กรณีแรกเมื่ออุณหภูมิที่ใช้สูงไม่นักพอและกรณีอุณหภูมิที่ใช้สูงมากพอที่ทำให้ตะลิสต์อยู่ในสถานะหลอมละลาย

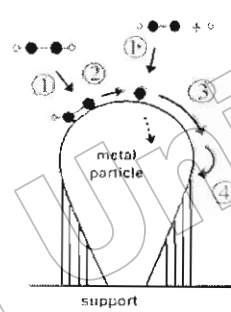
สำหรับกรณีแรก อุณหภูมิที่ใช้มีค่าสูงไม่นักพอที่จะทำให้ตะลิสต์อยู่ในสถานะหลอมละลายได้ เมื่อเก๊สไฮโคลคาร์บอนตกแพร่ลงบนตะลิสต์ แก๊สไฮโคลคาร์บอนจะแพร่กระจายตัวบนผิวของโลหะตะลิสต์ (Surface diffusion) จะต้องของคาร์บอนจะเคลื่อนตัวรวมกันและสะสม เมื่อมีปริมาณมากขึ้นจนรวมตัวกันที่ผิวนอกและภายในเป็นท่อ สำหรับกรณีอุณหภูมิที่ใช้มีค่าสูงพอที่ทำให้ตะลิสต์อยู่ในสถานะหลอมละลายได้ เมื่อเก๊สไฮโคลคาร์บอนตกแพร่ลงบนตะลิสต์ จะต้องของคาร์บอนจะเกิดการแพร่กระจายตัวบนผิวและการแพร่กระจายตัวเข้าไปด้านในของ

อนุภาคตะลิสต์ (Bulk diffusion) เกิดการสะสมกันของอะตอมของคาร์บอนจนมีปริมาณมากขึ้น และกลายเป็นท่อในที่สุด

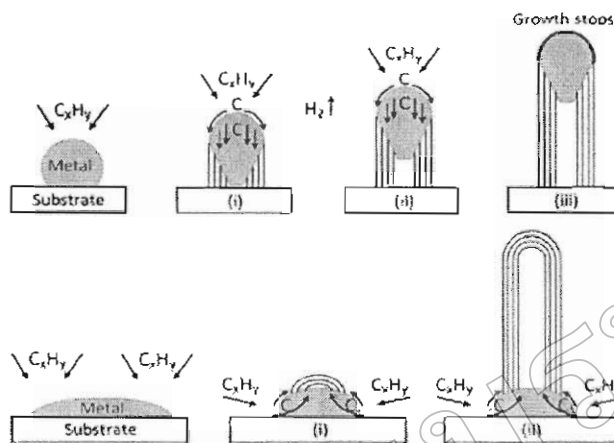
จากการศึกษาความสัมพันธ์ระหว่างโลหะตะตะลิสต์กับกลไกการเกิดท่อนาในคาร์บอน (Baker, 1989, pp. 315-323) สามารถแบ่งออกเป็น 2 รูปแบบ ได้แก่

2.4.1. การเกิดจากฐาน (Base-growth) เกิดในกรณีที่อันตรกิริยะระหว่างแพ่นรองรับกับโลหะตะตะลิสต์มีค่าสูง เมื่อไม่เกิดขึ้น ไฮโดรคาร์บอนตกแพ่นมายังบริเวณผิวด้านบนของโลหะตะตะลิสต์ ไม่เกิดขึ้น ไฮโดรคาร์บอนจะเคลื่อนตัวมาทิ้งด้านข้างรวมตัวก็คือเป็นท่อนาในคาร์บอนขึ้น

2.4.2 การเกิดจากปลาย (Tip-growth) เกิดในกรณีที่อันตรกิริยะระหว่างแพ่นรองรับกับโลหะตะตะลิสต์มีค่าต่ำ เมื่อไม่เกิดขึ้น ไฮโดรคาร์บอนตกแพ่นมายังบริเวณผิวด้านบนของโลหะตะตะลิสต์ อะตอมของคาร์บอนแตกตัวและแทรกตัวเข้าไปยังบริเวณด้านข้างของอนุภาคโลหะตะตะลิสต์และดันโลหะตะตะลิสต์ขึ้นไปด้านบน



ภาพที่ 9 แสดงการเกิดท่อนาในคาร์บอนแบบจากปลาย กรณีอุณหภูมิที่ใช้สูงไม่มากพอที่ทำให้เกิดไฮโดรคาร์บอนแทรกตัวเข้าไปในตะตะลิสต์ได้ (Hofmann, Csanyi, Ferrari, Panyi, & Robertson, 2005, pp. 1-4)



ภาพที่ 10 แสดงภาพการเกิดห่อนาโนคาร์บอนแบบจากปลายและจากฐาน กรณีอุณหภูมิที่ใช้สูงมากพอที่ทำให้แก๊สไฮโดรคาร์บอนแทรกตัวเข้าไปใน筐ตะลิสต์ได้ (Kumar, & Ando, 2010, pp. 3739-3758)

## 2.6 อิทธิพลที่มีผลต่อการเติบโตห่อนาโนคาร์บอน

มีการศึกษาอิทธิพลต่าง ๆ ที่มีผลต่อการสังเคราะห์ห่อนาโนคาร์บอนที่สภาวะต่าง ๆ กัน พบว่ามีปัจจัยต่าง ๆ ที่ล่วงผลต่อรูปร่างและโครงสร้างของห่อนาโนคาร์บอน ซึ่งปัจจัยดังกล่าวได้แก่

### 2.5.1 อิทธิพลจากอุณหภูมิ

อิทธิพลทางด้านอุณหภูมิต่อโครงสร้างและรูปร่างของห่อนาโนคาร์บอนที่สังเคราะห์ด้วยวิธีการเคลือบไฮโรเชลทางเคมีด้วยความร้อนที่ช่วงอุณหภูมิ 750-950 องศาเซลเซียส พนว่า อัตราการเติบโต ค่าเฉลี่ยเส้นผ่าศูนย์กลาง ค่าความหนาแน่น และความสมบูรณ์ของห่อนาโนคาร์บอนมีค่าเพิ่มขึ้น เมื่ออุณหภูมิที่ใช้ในการสังเคราะห์เพิ่มขึ้น (Lee, Park, Huh, & Lee, 2001, pp.33-38) และการสังเคราะห์ห่อนาโนคาร์บอนที่ช่วงอุณหภูมิ 600-1050 องศาเซลเซียส พนว่าที่อุณหภูมิสูงขึ้นพนว่าห่อนาโนคาร์บอนจะมีรูปร่างแบบตันไม้ (Bamboo-like structure) และห่อนาโนคาร์บอนมีจำนวนผนังของห้อเพิ่มขึ้น (Li, Wen, & Ren, 2001, pp.397-402)

### 2.5.2 อิทธิพลจากแหล่งกำเนิดการรับอน

รายงานการวิจัยเกี่ยวกับการสังเคราะห์ห่อนาโนคาร์บอนด้วยวิธีการเคลือบไฮโรเชลทางเคมีแบบตะไครatic ก็ช่วงอุณหภูมิ 600-950 องศาเซลเซียส โดยใช้แก๊สไฮโดรคาร์บอนที่แตกต่างกัน ได้แก่ มีเทน อะเซทิก\_acetone และอีเทน พนว่าค่าความสมบูรณ์ของห่อนาโนคาร์บอนจะมีค่ามากที่สุดและขนาดเด็นผ่าศูนย์กลางของห่อนาโนคาร์บอนจะมีค่าน้อยที่สุดเมื่อใช้แก๊สเมธีเทน และที่อุณหภูมิ 800 องศาเซลเซียส พนว่าการสังเคราะห์ห่อนาโนคาร์บอนเกิดขึ้นได้ยาก เมื่อใช้แก๊ส

มีเห็น อะเซทีลีน และเอทีลีน ในขณะที่การสังเคราะห์ด้วยอีเทนจะให้ท่อนาโนคาร์บอนที่ได้มีคุณภาพที่ดีกว่า (Son, Lee, Won, & Lee, 2008, pp. 2166-2175) นอกจากนี้ยังมีศึกษาการสังเคราะห์ท่อนาโนคาร์บอนด้วยวิธีการเคลือบไฮโรเยห์ทางเคมีโดยใช้เฟอร์โรซิน โคงอลต์โตกซิน และนิกเกิลโลซิน เป็นตะตะลิสต์ และใช้แหล่งกำเนิดการรับอน ได้แก่ เบนซิน ทูโลอิน ไซลีน ไซโคลเอกเซน ไซโคลเอกชาโนน อีน-เอกเซน อีน-เชปเทน อีน-ออกเทน และอีน-เพนเทน พนว่าท่อนาโนคาร์บอนที่ได้จะมีปริมาณและคุณภาพสูงสุด เมื่อใช้แก๊สไซลีนเป็นแหล่งกำเนิดการรับอน และใช้เฟอร์โรซินผสมกับนิกเกิลโลซินให้เป็นตะตะลิสต์ (Horvath et.al., 2006, pp. 53-54)

### 2.5.3 อิทธิพลจากความดัน

การศึกษาอิทธิพลของความดันด้วยวิธีการเคลือบไฮโรเยห์ทางเคมี พนว่าที่ความดันสูงขึ้นท่อนาโนคาร์บอนที่สังเคราะห์ได้จะมีขนาดเส้นผ่าศูนย์กลางเล็กลง แต่มีอัตราการเติบโตและคุณภาพที่สูงขึ้น โดยที่อัตราการเติบโตมีค่าระหว่าง 1-3 ไมโครเมตรต่อนาที และขนาดเส้นผ่าศูนย์กลางของท่อนาโนคาร์บอนมีค่าน้อยกว่า 30 นาโนเมตร หากสังเคราะห์ที่ความดันต่ำจะมีอัตราการเติบโตมีค่าเท่ากับ 0.1 ไมโครเมตรต่อนาที และขนาดเส้นผ่าศูนย์กลางมีค่าระหว่าง 60-80 นาโนเมตร (Lin, Lee, Hsu, & Kuo, 2004, pp. 2147-2151) ขณะที่การสังเคราะห์ด้วยวิธีอาเร็คติซาร์ช เมื่อพิจารณาความดันของแก๊สไฮdroเจนมีผลต่อขนาดเส้นผ่าศูนย์กลางและปริมาณที่ได้ที่ความดัน 500 ทอร์ พนว่าท่อนาโนคาร์บอนมีขนาดเส้นผ่าศูนย์กลางระหว่าง 7-20 นาโนเมตร และสามารถลดต่ำได้ในปริมาณ 6.5 กรัมต่อชั่วโมง ขณะที่ความดัน 1000 ทอร์ ท่อนาโนคาร์บอนมีขนาดเส้นผ่าศูนย์กลางระหว่าง 7-30 นาโนเมตร และลดต่ำได้ในปริมาณ 2 กรัมต่อชั่วโมง (Tingkai, Yongning, & Jiepu, 2004, pp. 2569-2571)

### 2.5.4 อิทธิพลจากโลหะตะตะลิสต์

โลหะตะตะลิสต์เป็นส่วนสำคัญที่ช่วยในการทำให้เกิดท่อนาโนคาร์บอน โดยโลหะตะตะลิสต์ที่นิยมใช้ ได้แก่ นิกเกิล เหล็ก และโคงอลต์ ตีและแคนะ (Lee, Park, & Yu, 2002, pp. 250-255) ได้ทำการศึกษาการสังเคราะห์ท่อนาโนคาร์บอนที่ช่วงอุณหภูมิ 750-950 องศาเซลเซียส ด้วยวิธีการเคลือบไฮโรเยห์ทางเคมี พนว่าอัตราการเติบโตท่อนาโนคาร์บอนจะมีค่ามากที่สุดเมื่อใช้นิกเกิล โคงอลต์ และเหล็ก ตามลำดับ และค่าเฉลี่ยเส้นผ่าศูนย์กลางของท่อนาโนคาร์บอนจะมีค่ามากที่สุดเมื่อใช้เหล็ก โคงอลต์ และนิกเกิล ตามลำดับ ขณะที่ค่าความสมบูรณ์ของท่อนาโนคาร์บอนจะมีค่ามากที่สุดเมื่อใช้เหล็กเป็นตะตะลิสต์

### 2.5.5 อิทธิพลอื่น ๆ

การศึกษาอิทธิพลทางด้านอื่น ๆ ที่มีผลต่อการสังเคราะห์ท่อนาโนคาร์บอน เช่น อิทธิพลของแก๊สเฉื่อย พบว่าการสังเคราะห์ภายใต้สภาวะเดียวกันด้วยวิธีอาร์คิดิศชาร์จ ที่ค่าความดันระหว่าง 10-90 กิโลปascal การทดสอบสมของคาร์บอนในบรรยากาศของอาร์กอนจะมีค่าต่ำกว่าในบรรยากาศของไฮเลียมที่ความดันของแก๊สน้อยกว่า 30 กิโลปascal แต่ในทางตรงกันข้ามเมื่อความดันมีค่ามากกว่า 30 กิโลปascal ภายใต้บรรยากาศของอาร์กอนท่อนาโนคาร์บอนที่สังเคราะห์ได้จะมีผลที่ดีกว่าภายใต้บรรยากาศของไฮเลียม และมีความบริสุทธิ์ที่สูงกว่า (Zhang, Xue, Wang, He, & Peng, 1999, pp. 1-5)

การสังเคราะห์ท่อนาโนคาร์บอนด้วยวิธีการเคลือบไอระเหยทางเคมี มีการศึกษาอิทธิพลของแก๊สไฮโดรเจน ที่ผสมกับแก๊สอะเซทีลีน แก๊สคาร์บอนมอนอกไซด์ และcacotoliditett ในรูปของไอรอนเพนทะคาร์บอนิล ที่ช่วงอุณหภูมิ 700 และ 1000 องศาเซลเซียส สามารถสังเคราะห์ท่อนาโนคาร์บอนแบบผนังชั้นเดียวได้มากขึ้น เมื่อเพิ่มปริมาณความเข้มข้นของแก๊สไฮโดรเจน (Bladh, Fallk, & Rohmund, 2000, pp. 317-322) การใช้แก๊สแอมโมเนียมเพิ่มสูงกับแก๊สไฮโดรเจน และแก๊สอะเซทีลีนที่ช่วงอุณหภูมิ 600 และ 950 องศาเซลเซียส โดยใช้นิคเกิลเป็นcacotoliditett พบว่าแก๊สแอมโมเนียมมีส่วนสำคัญที่ทำให้ท่อนาโนคาร์บอนมีลักษณะเป็นเส้นตรงและแข็งสามารถช่วยป้องกันการเกิดการบอนอสัมฐานได้อีกด้วย (Choi, Cho, Hong, Park, & Kim, 2001, pp. 2095-2098) นอกจากนี้ยังพบว่าอิทธิพลของอัตราการไหลดของแก๊สอะเซทีลีนมีผลต่อโครงสร้างและรูปร่างของท่อนาโนคาร์บอน เมื่อเพิ่มอัตราการไหลดของแก๊สอะเซทีลีนสูงขึ้น พบว่าค่าเฉลี่ยเส้นผ่าศูนย์กลาง น้ำหนัก และโครงสร้างอสัมฐานของท่อนาโนคาร์บอนจะมีค่าเพิ่มขึ้น (Zhangyi, Zhuo, Pingsheng, & Yiwei, 2007, pp. 92-96)

## 2.7 ประโยชน์ของท่อนาโนคาร์บอนสำหรับตัวตรวจจับแก๊ส

ที่ผ่านมาได้มีนักวิจัยจากกลุ่มต่าง ๆ ทำการศึกษาวิจัยเกี่ยวกับการนำของท่อนาโนคาร์บอนทั้งแบบผนังชั้นเดียวและแบบผนังหลายชั้นมาใช้ในการตรวจวัดแก๊สในโทรศัพท์มือถือ ไอโฟน ทั้งในเชิงทดลองและเชิงการทดลอง เพื่อศึกษาถูกต้องในการตรวจจับไม่เกิดข้อขัดแย้งแก๊ส ซึ่งมีรายละเอียดดังนี้

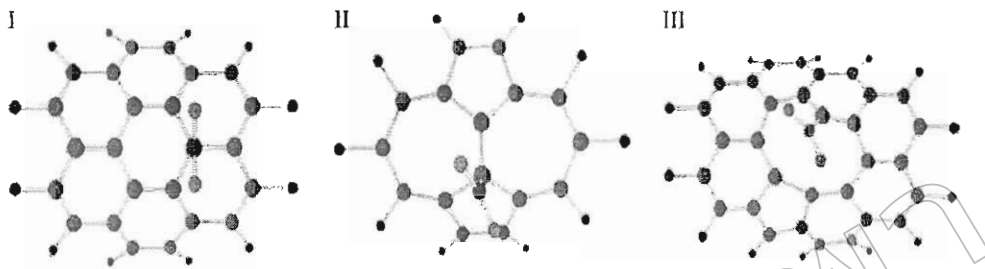
### 2.6.1 ผลการศึกษาเชิงทดลอง

ผลการศึกษาเชิงทดลองการจำลองการตรวจจับแก๊สของท่อนาโนคาร์บอนแบบผนังชั้นเดียวกับไมโครกริดของแก๊สในโทรศัพท์มือถือ ไอโฟน ได้ออกไซด์ด้วยวิธีของทฤษฎีฟังก์ชันความหนาแน่น (Density

functional theory, DFT) แสดงให้เห็นว่าเมื่อโมเลกุลของแก๊สในไตรเจนไดออกไซด์เมื่อเข้ามาสัมผัสกับผิวของท่อนาโนคาร์บอนโครงสร้างแบบ (10,0) มีค่าพลังงานการขึ้นตัว (Binding energy) เท่ากับ -0.47 อิเล็กตรอนโวლต์ และผลจากการวิเคราะห์ความหนาแน่นอิเล็กตรอน (Electron density) แสดงให้เห็นว่ามีการส่งผ่านประจุจากอะตอมของคาร์บอนไปยังโมเลกุลของแก๊สในไตรเจนไดออกไซด์ ทำให้ช่วงของช่องว่าง melan พลังงาน (Band gap) มีค่าลดลงจาก 0.86 เป็น 0.80 อิเล็กตรอนโวลต์ ขณะที่ท่อนาโนคาร์บอนมีจำนวนไโซลในเอนกัวเลนซ์มากขึ้น ทำให้ท่อนาโนคาร์บอนนำไปใช้ได้ดีขึ้น (Peng, Cho, Qi, & Dai, 2004, pp. 271-276) ขณะที่ผลการจำลองการตรวจจับแก๊สในไตรเจนไดออกไซด์กับท่อนาโนคาร์บอนโครงสร้างแบบ (9,0) ที่บริเวณต่าง ๆ ได้แก่ ที่บริเวณป্রากจากตำแหน่ง (I) ที่บริเวณมีตำแหน่งแบบสโตน-เวลล์ (Stone-Wales defect) (II) และบริเวณที่ว่าง (III) ของผนังท่อนาโนคาร์บอน ดังแสดงในภาพที่ 11 ผลจากการคำนวณพบว่าค่าอันตรกิริยาระหว่างโมเลกุลของแก๊สในไตรเจนไดออกไซด์กับผนังท่อที่มีความสมมูลรูปถ่ายค่าที่ต่ำ ขณะที่ผนังท่อที่มีตำแหน่งแบบสโตน-เวลล์พบว่ามีค่าการดูดซับเชิงภาพ (Physisorption) เท่ากันแต่มีค่าการดูดซับเชิงเคมี (Chemisorption) ที่ต่างกัน ซึ่งเป็นสาเหตุสำคัญที่มีผลต่อสมบัติทางไฟฟ้า และบริเวณที่โมเลกุลแก๊สจับกับบริเวณที่ว่างจะให้ค่าการดูดซับเชิงเคมีมากที่สุด (Valentini et al., 2004, pp. 356-361) ดังข้อมูลในตารางที่ 1

ตารางที่ 1 แสดงระบบห่าง (คอลัมน์ที่ 1) การส่งผ่านประจุ (คอลัมน์ที่ 2) และค่าพลังงานการขึ้นตัว (คอลัมน์ที่ 3) ของโมเลกุลแก๊สในไตรเจนไดออกไซด์กับท่อนาโนคาร์บอน (Valentini et al., 2004, pp. 356-361)

	$d(C-NO_2)/\text{\AA}$	$\Delta q/e$	BE/kcal mol <sup>-1</sup>
I (Physisorption)	3.211	-0.02	-0.3
I (Chemisorption)	1.667	-0.22	-20.7
II (Physisorption)	3.187	-0.01	-0.3
II (Chemisorption)	1.576	-0.25	-8.4
III (Chemisorption)	1.462	-0.39	51.5

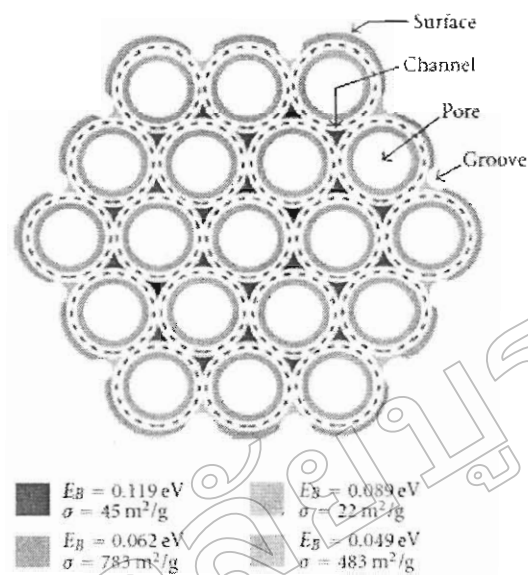


ภาพที่ 11 แสดงภาพโมเลกุลของแก๊สในโครงสร้างดิօอุกไซคลิกบนผนังห้องที่บริเวณปราศจากตำแหน่ง (I) ที่บริเวณมีตำแหน่งแบบสโตรน-เวลล์ (II) และบริเวณที่ว่าง (III) ของผนังห้องท่อนานาในคาร์บอน (Valentini et al., 2004, pp. 356-361)

นอกจากนี้ยังได้มีการจำลองการตรวจวัดแก๊สไฮโดรเจนของกลุ่มห้องนานาในคาร์บอนแบบผนังชั้นเดียวที่บริเวณต่างๆ ได้แก่ พื้นผิวด้านนอก (Surface) ร่องระหว่างห้องที่อยู่ติดกันด้านนอก (Groove) ภายในของห้องแต่ละห้อง (Pore) และช่องว่างระหว่างห้อง (Channel) ผลจากการคำนวณค่าพลังงานการยึดเกาะ และพื้นที่ผิวจำเพาะ (Specific surface area contributions,  $\sigma$ ) สำหรับการคูคช้างไฮโดรเจนที่บริเวณเหล่านี้ดังแสดงในภาพที่ 12 พบว่าค่าพลังงานในการยึดเกาะที่บริเวณต่างๆ มีผลดังนี้  $E_B(\text{Channels}) > E_B(\text{Grooves}) > E_B(\text{Pores}) > E_B(\text{Surface})$  (Williams & Eklund, 2000) นอกจากนี้ยังมีการศึกษาพบว่าบริเวณที่มีการส่งผ่านประจุ (Charge transfer) ได้ต่ำสุด คือบริเวณช่องว่างระหว่างห้อง (Interstitial) เมื่อเปรียบเทียบกับบริเวณอื่นๆ (Zhao, Buldum, & Lu, 2002, pp. 195-200) ดังข้อมูลในตารางที่ 2

ตารางที่ 2 แสดงระยะระหว่างห้องกับโมเลกุล ( $d$ ) พลังงานการคูคช้าง ( $E_a$ ) และการส่งผ่านประจุ ( $Q$ ) ของโมเลกุลแก๊สไฮโดรเจนที่บริเวณต่างๆ ที่ตำแหน่ง (10,0) ของกลุ่มห้องนานาในคาร์บอนแบบผนังชั้นเดียว (Zhao, Buldum, & Lu, 2002, pp. 195-200)

Site	$d$ (Å)	$E_a$ (meV)	$Q$ (e)
Surface	3.01	94	0.014
Pore	2.83	111	0.012
Groove	3.33	114	0.026
Interstitial	3.33	174	0.035



ภาพที่ 12 แสดงโครงสร้างของกลุ่มห่อนาโนคาร์บอนแบบผังชั้นเดียวบริเวณตัวฯ และแสดงผลลัพธ์ของการขัดแกะและพื้นที่ผิวจำเพาะในการคัดซับแก๊สไฮdroเจน (Adu, Sumanasekera, & Pradhan, 2001, pp. 31-35)

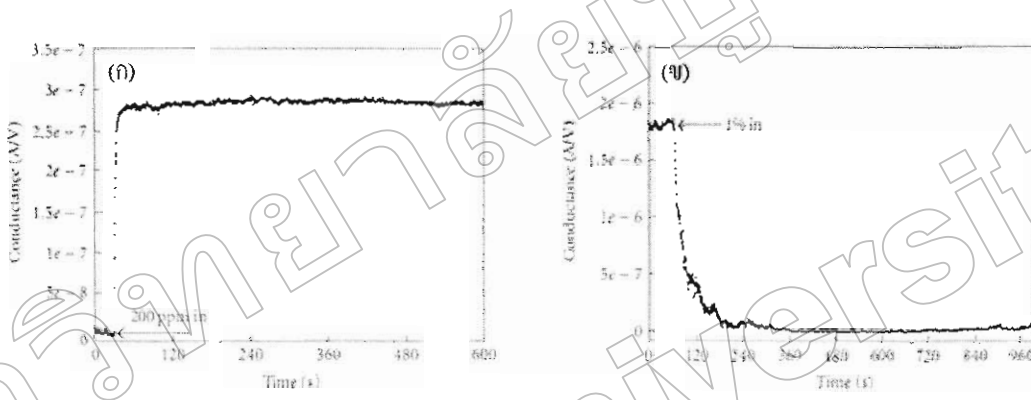
### 2.6.2 ผลการศึกษาเชิงการทดลอง

ผลการวิจัยก่อนหน้านี้ได้รายงานผลการทดลองของห่อนาโนคาร์บอนต่อความไวในการตรวจวัดแก๊สชนิดต่างๆ ผลของการคัดซับโมเลกุลของแก๊สของห่อนาโนคาร์บอนจะส่งผลทำให้เกิดการถ่ายเทอิเล็กตรอนระหว่างกันเกิดขึ้น โดยที่ห่อนาโนคาร์บอนจะทำหน้าที่เป็นตัวรับ (Acceptor) อิเล็กตรอนจากโมเลกุลของแก๊สหรือเป็นตัวให้ (Donate) อิเล็กตรอนแก่โมเลกุลแก๊สอย่างโดยย่างหนึ่ง ส่งผลทำให้สมบัติทางไฟฟ้าของห่อนาโนคาร์บอนเกิดการเปลี่ยนแปลง อาทิ เช่น การนำไฟฟ้า ความด้านทานทางไฟฟ้า และความจุทางไฟฟ้า ซึ่งมีรายละเอียดดังต่อไปนี้

#### 2.6.2.1 ผลการเปลี่ยนแปลงค่าการนำไฟฟ้า

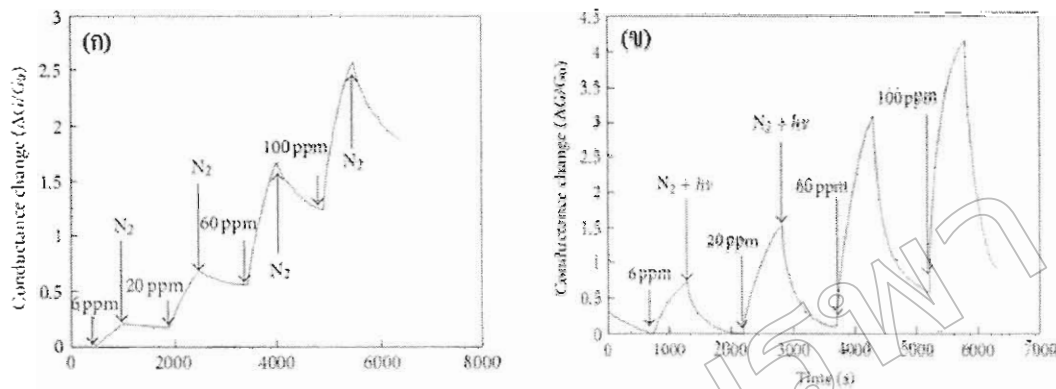
สำหรับตัวอย่างการตรวจวัดแก๊ส โดยการศึกษาการเปลี่ยนแปลงการนำไฟฟ้าของห่อนาโนคาร์บอนพบว่ามีการทดลองการนำห่อนาโนคาร์บอนมาประยุกต์ใช้เป็นแก๊สเซ็นเซอร์โดยสร้างทรานซิสเตอร์ห่อนาโนคาร์บอนแบบผังชั้นเดียวแบบสารกึ่งตัวนำ (Semiconducting SWNTs, S-SWNTs) โดยห่อนาโนคาร์บอนถูกสังเคราะห์ด้วยวิธีการเคลือบไฮโรเหลาทางเคมีลงบนแผ่นซิลิคอน โดยออกไซด์ ผลปรากฏว่าค่าการนำไฟฟ้าของห่อนาโนคาร์บอน มีค่าเพิ่มขึ้นเมื่อสัมผัสกับแก๊สไฮdroเจน โดยออกไซด์ที่ความเข้มข้น 200 ppm (Part per million,

ppm) ดังแสดงในภาพที่ 13(ก) เวลาที่ใช้ในการตอบสนองมีค่าประมาณ 2-10 วินาที ค่าการนำไฟฟ้า มีค่าเปลี่ยนแปลงประมาณ 100-1,000 ไปจากเดิมเมื่อเปรียบเทียบอัตราส่วนระหว่างความด้านท่าน ก่อนและหลังสัมผัสกับแก๊ส เมื่อนำตัวอย่างเดินไปตรวจวัดแก๊สแอมโมเนียความเข้มข้น 1% (หลังจากทำให้ท่อนาในครั่นนี้สู่สภาพเดิมแล้ว) พบว่าค่าการนำไฟฟ้าของท่อนาในครั่นนี้ ค่าลดลงอย่างรวดเร็วในช่วง 1-2 นาที และค่าการนำไฟฟ้ามีค่าเปลี่ยนแปลงประมาณ 10-100 ไปจากเดิมเมื่อเปรียบเทียบอัตราส่วนระหว่างความด้านท่านก่อนและหลังสัมผัสกับแก๊ส ดังภาพ 13(ข) (Kong et al., 2000, pp. 622-625)



ภาพที่ 13 แสดงการเปลี่ยนแปลงค่าการนำไฟฟ้าของท่อนาในครั่นนี้เมื่อสัมผัสกับแก๊ส  
(ก) ในไตรเจนไไดออกไซซ์ด (ข) แอมโมเนีย (Kong et al., 2000, pp. 622-625)

จากนั้นได้มีนักวิจัยบางกลุ่มทำการปรับปรุงและพัฒนาการนำท่อนาในครั่นนี้ กลับมาใช้ชี้วัดโดยการให้ความร้อนหลังจากที่ท่อนาในครั่นนี้ได้ดูดซับไไมเลกุลแก๊สแล้ว เพื่อช่วยกำจัดไไมเลกุลของแก๊สให้หลุดออกจากผิวของท่อนาในครั่นนี้ ทำการทดสอบโดยการนำท่อนาในครั่นนี้แบบผนังขึ้นเดียวมาใช้ตรวจวัดแก๊สในไตรเจนไไดออกไซด์ที่ความเข้มข้นต่างๆ ที่อุณหภูมิห้อง พบว่าการนำไฟฟ้าของท่อนาในครั่นนี้เกิดการเปลี่ยนแปลงเมื่อสัมผัสกับแก๊สในไตรเจนไไดออกไซด์ ดังแสดงในภาพที่ 14 นอกจากนี้ยังพบว่าเวลาคืนตัว (Recovery time) ของท่อนาในครั่นนี้มีค่าประมาณ 10 ชั่วโมง เมื่อใช้แก๊สในไตรเจนเป็นตัวกำจัดไไมเลกุลแก๊สเพียงอย่างเดียว แต่สามารถลดเวลาคืนตัวให้น้อยลงได้เมื่อใช้แสงยูวี (UV light) รวมกับแก๊สในไตรเจนในการกำจัดไไมเลกุลแก๊สให้หลุดออก (Li et al., 2003, pp. 929-933)



ภาพที่ 14 แสดงการเปลี่ยนแปลงค่าการนำไฟฟ้าของท่อนในคาร์บอนเมื่อสัมผัสถกับแก๊ส

ในโครงงาน “ไดออกไซด์ที่ความเข้มข้นต่างๆ (g) ไม่มีแสงยูวี (h) มีแสงยูวี (Li et al., 2003, pp. 929-933)

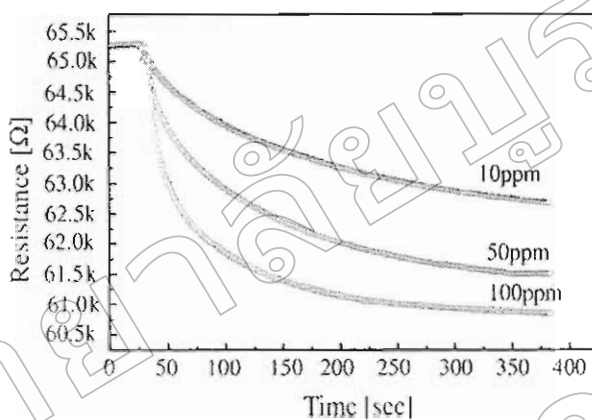
### 2.6.2.2 การเปลี่ยนแปลงความด้านทานทางไฟฟ้า

ในส่วนของการศึกษาการตรวจวัดแก๊สโดยการศึกษาการเปลี่ยนแปลงความด้านทานทางไฟฟ้าของท่อนในคาร์บอน พบว่า ได้ทำการนำท่อนในคาร์บอนแบบผนังหลายชั้น มาทดสอบตรวจจับโมเลกุลของแก๊ส ในโครงงาน “ไดออกไซด์ที่ความเข้มข้นช่วง 10-100 ppm” ทดสอบที่อุณหภูมิห้อง ซึ่งผลปรากฏว่าค่าความด้านทานทางไฟฟ้าของท่อนในคาร์บอนมีค่าลดลง และท่อนในคาร์บอนแสดงคุณสมบัติเป็นสารกึ่งตัวนำชนิดพิ涅็องจากกิจการส่งผ่านของอิเล็กตรอนทำให้พลังงานระดับพอร์มิของท่อนในคาร์บอนเกิดการเลื่อนเข้าไปใกล้ทิ่บริเวณแถบวาเลนซ์ (Valence band) จากผลดังกล่าวทำให้จำนวนไฮดรอกซอลของท่อนในคาร์บอนเพิ่มขึ้น ซึ่งไฮดรอกซอลเป็นส่วนสำคัญในการนำไฟฟ้าของท่อนในคาร์บอน และทำให้ค่าความด้านทานทางไฟฟ้าของท่อนในคาร์บอนมีค่าลดลง (Cho et al., 2006, pp. 180-185)

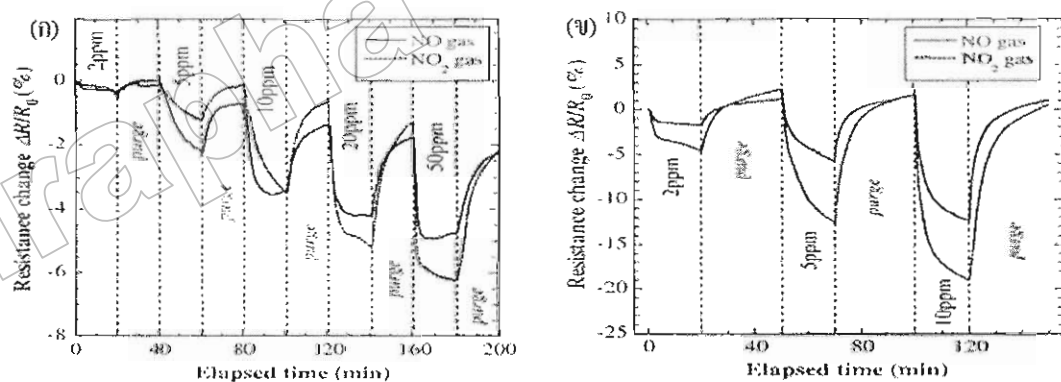
ขณะที่การศึกษาการเปรียบเทียบประสิทธิภาพในการตรวจวัดแก๊สระหว่าง

ท่อนในคาร์บอนแบบผนังชั้นเดียวและแบบผนังหลายชั้น โดยนำท่อนในคาร์บอนทั้งสองแบบมาทำการตรวจวัดแก๊สในโครงงานนอก “ไดออกไซด์และในโครงงาน “ไดออกไซด์ที่ช่วงความเข้มข้นต่างๆ ที่ อุณหภูมิห้อง, 100, 150 และ 200 องศาเซลเซียส ตามลำดับ โดยศึกษาการเปลี่ยนแปลงค่าความด้านทานทางไฟฟ้าท่อนในคาร์บอน พบว่าค่าความด้านทานทางไฟฟ้ามีค่าลดลงสัมพันธ์กับปริมาณความเข้มข้นของโมเลกุลของแก๊สที่เพิ่มขึ้น สาเหตุการเปลี่ยนแปลงดังกล่าวมาจากการที่โมเลกุลของแก๊สเข้ามาสัมผัสถกับผนังท่อนในคาร์บอนจะเกิดการถ่ายเทอิเล็กตรอนระหว่างกัน เกิดการเคลื่อนที่ของอิเล็กตรอนจากท่อนในคาร์บอนไปยังโมเลกุลของแก๊ส ทำให้ค่าความหนาแน่น

ໂສດ (Density of hole) ຂອງທ່ອນາໄນຄາරົບອນມີຄ່າພື້ນໜຶ່ງ ແລະ ທ່ອນາໄນຄາරົບອນມີຄ່າຄວາມຕ້ານທານທາງໄຟຟ້າລດລງ ຮ່ວມທີ່ມີສົນບັດການນຳໄຟຟ້າເປັນແບບໜົນດີພື້ນ ນອກຈາກນີ້ບັງພບວ່າທ່ອນາໄນຄາරົບອນແບບຜົນໜຶ່ງເດືອນແບບຜົນໜຶ່ງມີຄ່າໃຊ້ຕໍ່ກໍາລຝາ ແລະ ແບບຜົນໜຶ່ງເດືອນແບບຜົນໜຶ່ງມີຄ່າໃຊ້ຕໍ່ກໍາລຝາ ເຊັ່ນມີຄ່າຕອບສອນຂອງຄວາມຕ້ານທານທາງໄຟຟ້າທີ່ສູງກວ່າ (Ueda, Katsuki, & Takahashi, 2008, pp. 1586-1589)



ກາພທີ 15 ແສດງຄ່າຄວາມຕ້ານທານທາງໄຟຟ້າອອກທ່ອນາໄນຄາຮົບອນແບບຜົນໜຶ່ງຫລາຍໜຶ່ງເມື່ອສັນຜັກບໍ່  
ແກ້ສິໄນ ໂຕຣເຈນ ໄດ້ອອກໃຊ້ຕໍ່ກໍາລຝາ 10-100 ppm (Cho et al., 2006, pp. 180-185)

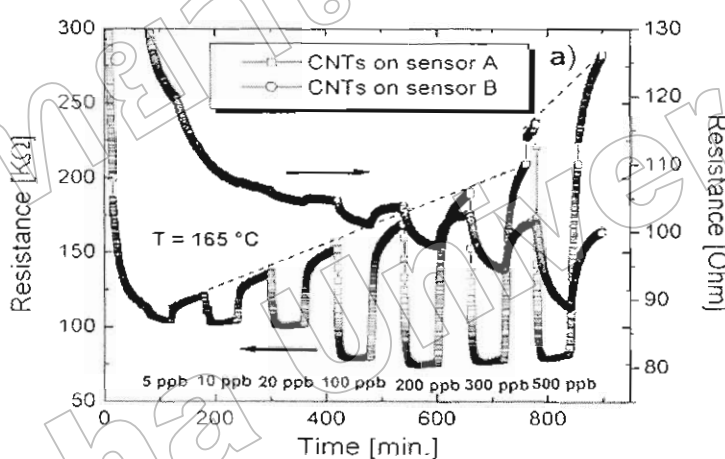


ກາພທີ 16 ແສດງການເປີ່ນແປງຄ່າຄວາມຕ້ານທານທາງໄຟຟ້າອອກ (ກ) ທ່ອນາໄນຄາຮົບອນແບບຜົນໜຶ່ງ  
ເດືອນແກ້ສິໄນ (ບ) ທ່ອນາໄນຄາຮົບອນແບບຜົນໜຶ່ງຫລາຍໜຶ່ງເມື່ອສັນຜັກບໍ່ໃນ ໂຕຣເຈນ ໄດ້ອອກໃຊ້  
ກໍາລຝາ 150 ອົງສາຫະລເຊີບສ (Ueda, Katsuki, & Takahashi, 2008, pp. 1586-1589)

291545

691.9815  
0.28177

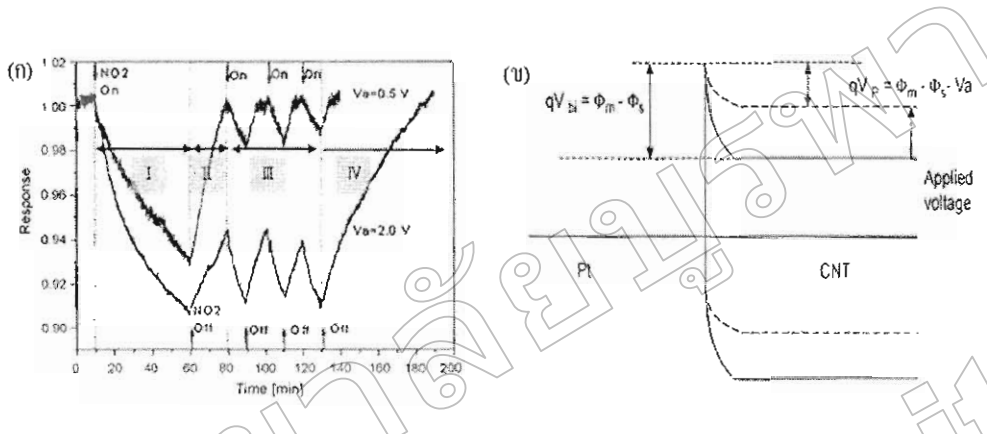
นอกจากนี้ยังได้มีการศึกษาการตรวจวัดแก๊สในไตรเจนโดยออกไซด์กับท่อนาโนคาร์บอนแบบผนังหลายชั้นที่สัมเคราะห์ที่อุณหภูมิต่ำกว่าจะมีความสมบูรณ์ของผนังห่อหุ้นที่ต่ำกว่าท่อนาโนคาร์บอนสัมเคราะห์ที่อุณหภูมิสูงกว่า ผลจากการตรวจวัดแก๊สในไตรเจนโดยออกไซด์ที่ความเข้มข้นต่าง ๆ ของท่อนาโนคาร์บอนทั้งสองเงื่อนไข แสดงให้เห็นว่าท่อนาโนคาร์บอนที่สัมเคราะห์ที่อุณหภูมิต่ำกว่ามีค่าการเปลี่ยนแปลงความต้านทานทางไฟฟ้าที่สูงกว่าท่อนาโนคาร์บอนสัมเคราะห์ที่อุณหภูมิสูงกว่า ตามมาจากการที่บริเวณผนังห่อหุ้นที่มีตำแหน่งจะมีค่าอัตราการระหวางไม่เลกุลของแก๊สกับผนังท่อนาโนคาร์บอนที่สูงกว่า เมื่อเปรียบเทียบกับผนังห่อหุ้นที่มีความสมบูรณ์มากกว่า ซึ่งผลดังกล่าวสมดุลกับผลการศึกษาเชิงทดลองก่อนหน้านี้ (Valentini et al., 2004, pp. 356-361)



ภาพที่ 17 แสดงค่าการเปลี่ยนความต้านทานทางไฟฟ้าของท่อนาโนคาร์บอน โดยที่ใช้เซอร์วิส A คือท่อนาโนคาร์บอนที่สัมเคราะห์ที่อุณหภูมิต่ำกว่า (Valentini et al., 2004, pp. 356-361)

นอกจากนี้ยังได้มีการศึกษาการตรวจวัดแก๊สในไตรเจนโดยออกไซด์ระดับความเข้มข้นต่ำที่ 100 ppb (Part per billion, ppb) โดยศึกษาการเปลี่ยนแปลงความต้านทานทางไฟฟ้าของท่อนาโนคาร์บอน และใช้แพลตินัมเป็นขั้วไฟฟ้า พบว่าการทดสอบการตรวจวัดไม่เลกุลแก๊สของท่อนาโนคาร์บอนที่ใช้ความต่างศักย์ที่สูงกว่าจะให้ค่าการตอบสนองทางไฟฟ้าที่มากกว่าเมื่อเทียบกับการใช้ความต่างศักย์ที่ต่ำกว่า ดังภาพที่ 18(ก) นอกจากนี้ยังพบว่าท่อนาโนคาร์บอนที่ใช้ความต่างศักย์ที่สูงกว่าจะใช้เวลาคืนตัวนานกว่าเมื่อเทียบกับค่าความต่างศักย์ที่ต่ำกว่า ซึ่งสาเหตุดังกล่าวสามารถอธิบายด้วยการเปลี่ยนแปลงรูปแบบของจุด接触 (Schottky junction) ระหว่าง

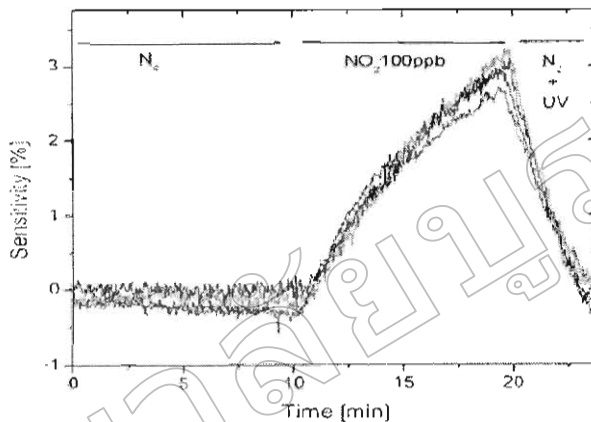
ท่อนาโนคาร์บอนกับชี้ไฟฟ้าแพลทินัม เมื่อค่าความต่างศักย์เพิ่มขึ้นจะเกิดการส่งผ่านอิเล็กตรอนจากท่อนาโนคาร์บอนไปยังชี้ไฟฟ้าแพลทินัมเพิ่มขึ้น เนื่องจากกำแพงศักย์มีค่าลดลงและทำให้มีค่าการตอบสนองทางไฟฟ้าที่ดีขึ้น (Lee et al., 2008, pp. 628-631)



ภาพที่ 18 (ก) แสดงค่าความต้านทานทางไฟฟ้าของท่อนาโนคาร์บอนที่ความต่างศักย์ต่างกัน (ข) แผนภาพเบนด์ของรอยต์แพลทินัมกับท่อนาโนคาร์บอน (Lee et al., 2008, pp. 628-631)

การศึกษาการนำท่อนาโนคาร์บอนแบบพนังชั้นเดียวตรวจวัดแก๊สในโตรเจนไดออกไซด์ที่ความเข้มข้น 100 ppb โดยใช้แพลทินัมเป็นชี้ไฟฟ้า พบว่า ท่อนาโนคาร์บอนนี้การตอบสนองทางไฟฟ้าทันทีเมื่อสัมผัสกับ โนเลกุลของแก๊ส ค่าความต้านทานทางไฟฟ้ามีค่าลดลงและมีค่าเปอร์เซ็นต์การตอบสนองทางไฟฟ้าเท่ากับ 3% เนื่องจากโนเลกุลของแก๊สในโตรเจนไดออกไซด์เกิดการคุดซับเชิงเคมีกับผิวของท่อนาโนคาร์บอน ทดสอบสมบัติการนำไฟฟ้าเป็นแบบชนิดพี แต่ถ้านำท่อนาโนคาร์บอนที่เตรียมได้ไปให้ความร้อนที่อุณหภูมิ 400 องศาเซลเซียส ภายในโตรเจนและนำมาใช้ตรวจวัดแก๊ส ในโตรเจนไดออกไซด์ที่ระดับความเข้มข้นเท่าเดิม พบว่ามีค่าเปอร์เซ็นต์การตอบสนองทางไฟฟ้าเท่ากับ 9% เนื่องจากการนำท่อนาโนคาร์บอนไปไว้ภายในโตรเจนที่อุณหภูมิสูงช่วยกำจัดสิ่งปนเปื้อนที่ยังคงหลงเหลืออยู่ที่ท่อนาโนคาร์บอนให้หลุดออกไป อีกทั้งยังช่วยเพิ่มประสิทธิภาพในการยึดเกาะระหว่างท่อนาโนคาร์บอนกับชี้ไฟฟ้าให้ดีขึ้น ส่งผลทำให้มีค่าเปอร์เซ็นต์การตอบสนองทางไฟฟ้าที่ดีขึ้น สำหรับสาเหตุที่ท่อนาโนคาร์บอนสามารถที่จะตรวจวัดแก๊สในโตรเจนไดออกไซด์ที่ความเข้มข้นระดับ ppb ที่อุณหภูมิห้องได้ สาเหตุมาจากการใช้ค่าความต่างศักย์ที่สูงพอ ซึ่งสอดคล้องกับงานวิจัยก่อนหน้านี้ซึ่งได้ทำการทดลองโดยใช้ค่าความต่างศักย์ที่

1.5 โวลต์ ในการตรวจวัดแก๊สในไตรเจนไคออกไซด์ พบร่วมกับแพลงชอทท์กี (Schoty barrier) มีค่าลดลง ทำให้มีอิเล็กตรอนใหม่ผ่านห้องคาร์บอนเพิ่มขึ้นและช่วยเพิ่มค่าการตอบสนองทางไฟฟ้าให้มากขึ้น (Yun et al., 2008)



ภาพที่ 19 แสดงค่าความด้านทางไฟฟ้าของห้องท่อนาโนคาร์บอนแบบผนังชั้นเดียวเมื่อสัมผัสกับแก๊สในไตรเจนไคออกไซด์ที่ความเข้มข้น 100 ppb (Yun et al., 2008)

#### 2.6.2.3 การเปลี่ยนแปลงความจุทางไฟฟ้า

การศึกษาการวัดสมบัติทางไฟฟ้าของห้องท่อนาโนคาร์บอนจากการวัดในรูปแบบของการนำไฟฟ้า และความด้านทางไฟฟ้า ยังมีการวัดในรูปแบบอื่น ๆ เช่น การวัดความจุทางไฟฟ้า ผลการศึกษาเกี่ยวกันหนึ่งได้มีการนำห้องท่อนาโนคาร์บอนไปใช้ตรวจวัดตรวจวัดความเข้มโดยอาศัยหลักการการเปลี่ยนแปลงความจุทางไฟฟ้า การทดลองดังกล่าวได้ทำการทดสอบที่อุณหภูมิของอากาศที่ได้พบว่าห้องท่อนาโนคาร์บอนมีการตอบสนองทางความจุทางไฟฟ้าและมีเวลาคืนตัวที่เร็วมาก มีค่าการตอบสนองความจุทางไฟฟ้าของห้องท่อนาโนคาร์บอนมีค่าเพิ่มขึ้น 60-200% ภายใต้ความชื้นสัมพัทธ์ที่ระดับ 70% และมีค่าการตอบสนองความจุทางไฟฟ้าเพิ่มขึ้นเป็น 300-3000% ภายใต้ความชื้นสัมพัทธ์ที่สูงกว่าระดับ 70% และมีค่าการตอบสนองความจุทางไฟฟ้ามีค่าเพิ่มขึ้นสัมพันธ์กับความชื้นสัมพัทธ์ที่สูงขึ้น (Yeow & She, 2006, pp.5441-5448) ขณะที่นักวิจัยบางกลุ่มศึกษาการใช้ห้องท่อนาโนคาร์บอนแบบผนังหลายชั้นในการตรวจวัดแก๊สออกซิเจน แอมโมเนีย และแอลกอฮอล์ โดยอาศัยการวัดความจุทางไฟฟ้า เช่นกัน โดยทำการวัดแก๊สออกซิเจนที่ระดับความเข้มข้น 10000 ppm แก๊สแอมโมเนียและแอลกอฮอล์ที่ 20% พบร่วมกับการเปลี่ยนแปลงความจุทางไฟฟ้าเท่ากับ 34, 60 และ 70% ตามลำดับ (Jesen, Ruangphet, & Cheirsirikul, 2008, pp. 261-264)